



液压顶升电动台车驮运大型沉箱创新设计

黄建生, 余东华, 黄宇朗

(中交四航局第五工程有限公司, 福建福州 350003)

摘要:为了解决现有大型沉箱出运所存在的问题,设计了液压顶升电动台车YDTC4600,并对该电动台车的水平驱动系统和液压顶升系统进行计算分析。结果表明:电动台车YDTC4600的水平驱动系统和液压顶升系统满足驮运4 600 t大型沉箱的受力要求,该电动台车设计安全、合理,可为类似台车的进一步研发提供参考。

关键词:电动台车; 液压顶升; 驮运; 大型沉箱

中图分类号: U 655.3

文献标志码: A

文章编号: 1002-4972(2014)09-0173-04

Innovative design of large-scale caisson shipped by hydraulic-push lifting and motor-driven bogie

HUANG Jiang-sheng, YU Dong-hua, HUANG Yu-lang

(The Fifth Engineering Company of CCCC Fourth Harbor Engineering Co., Ltd., Fuzhou 350003, China)

Abstract: In order to solve problems in shipping technology of large-scale caisson, we design the hydraulic-push lifting and motor-driven bogie YDTC4600 and analyze the horizontal driving system and hydraulic-push lifting system for it. The results show that the horizontal driving system and hydraulic-push lifting system of YDTC4600 can meet the requirements of the force carrying 4 600 t large-scale caisson. The design of motor-driven bogie YDTC4600 is reasonable and safe and it may serve as reference for further research and development of similar bogies.

Keywords: motor-driven bogie; hydraulic-push lifting; shipping; large-scale caisson

随着国际航运的发展和大型远洋船舶的应用,对码头结构及其前沿水深要求不断提高,沉箱尺寸和质量也随之不断加大,现有大型沉箱出运工艺主要有气囊出运和轨道出运两种方式。然而,许多工程实践表明:前者劳动强度大,使用劳动力多;后者沉箱从预制场移动到半潜驳需卷扬机牵引或千斤顶顶推,或者台车随沉箱上驳下潜易受海水浸泡。本文结合工程实例,介绍中交第四航务工程局有限公司设计的液压顶升电动台车YDTC4600。该台车主要是把动车组的理念应用到工程实例中,在台车内安装电动水平驱动系统,使台车变成主动车,采用电机同步控制电路,使多台主动车共同牵引、同步移动,大型沉箱水平

移动无需卷扬机牵引或千斤顶顶推;同时,在台车内安装液压顶升系统,解决了台车与沉箱结合及分离的灵活转换,避免台车随半潜驳下潜遭受海水腐蚀,提高了台车的使用效率和寿命。

1 电动台车YDTC4600的主要设计参数

电动台车YDTC4600由主动台车、被动台车、液压顶升系统、水平驱动系统和电控系统等组成。在沉箱的底部两侧分别布设一列台车,用以驮运沉箱的水平移动。每列台车由4台主动车和3台被动车组成。两列台车中心距离为8 m,分别行驶在两平行的轨道上,下卧轨道间距为0.8 m(图1)。主动台车水平驱动系统含电动机、变速箱

收稿日期: 2014-02-16

作者简介: 黄建生(1960—),男,高级工程师,主要从事港口工程施工技术管理工作。

和齿轮传动等动力系统，带动整个台车行走；被动台车自身无动力，由主动台车牵引行走。台车上设置含48台120t千斤顶的液压顶升系统，可顶升或降落沉箱。电控系统控制台车启动、停止及前进、后退。根据半潜驳的性能、参数和沉箱的尺寸、质量确定台车设计参数：台车额定承载能力46000kN，主动平车最大外形尺寸2700mm×1400mm×595mm，被动平车最大外形尺寸4355mm×1200mm×595mm，千斤顶最大起顶能力48×120t，行走电机功率16×3kW，台车横移速度1.34m/min，适应纵坡≤3%，车轮许用轮压565kN，选用轨道QU120钢轨。

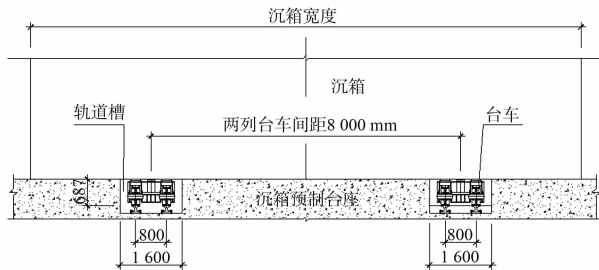
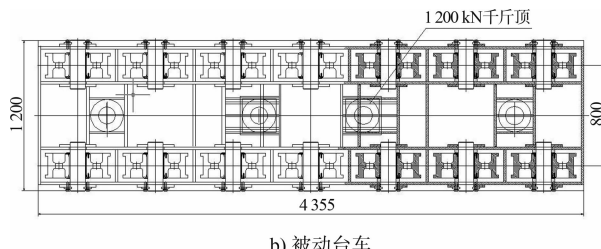
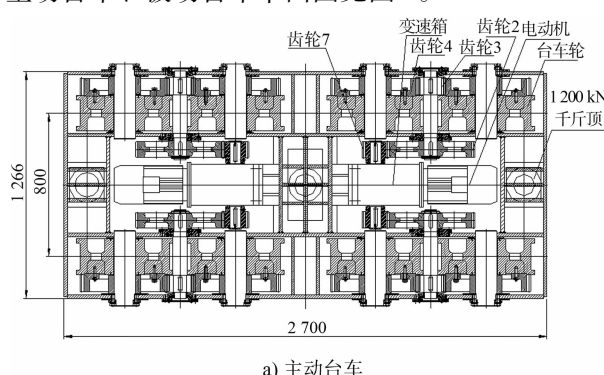


图1 电动台车驮运沉箱横剖面图

2 电动台车YDTC4600 驮运大型沉箱计算分析

2.1 水平驱动系统计算分析

电动台车YDTC4600 驮运大型沉箱的水平移动由主动台车牵引被动台车行走来实现，主动台车由内置电机驱动。每个台车设计成独立单元，单个台车由4对轮子组成，行驶在轨距为800mm的QU120钢轨上，单个主动台车内由2台电动机驱动，电动机通过变速箱传到齿轮1，齿轮1传到齿轮2，齿轮2传到同轴的齿轮3，齿轮3传给齿轮4，齿轮4与台车轮连在一起。每台电动机带动4个轮子运动，主动台车牵引被动台车水平运动。主动台车、被动台车平面图见图2。



b) 被动台车

图2 平面图

主动台车配置的电动机一方面需要达到相应的驱动力，同时要使多台主动车能同步行驶。同步行驶采用同步电机，由同步电路实现。电动台车YDTC4600水平驱动系统设计采用16台3kW电机驱动，下面对电动机的功率进行校核验算。

台车在轨道上稳定运行的静阻力 F_j 由摩擦阻力 F_m 、坡道阻力 F_p 和风阻力 F_w 组成：

$$F_j = F_m + F_p + F_w \quad (1)$$

1) 摩擦阻力 F_m 计算。

$$F_m = (G_1 + G_2) \frac{2f + \mu d}{D} \beta \quad (2)$$

式中： G_1 为台车承载能力(46000kN)； G_2 为台车自重力(900kN)； f 为滚动摩擦系数(0.5mm)； μ 为车轮轴承摩擦系数(0.08)； d 为与轴承相配合处车轮轴的直径(120mm)； D 为车轮踏面直径(500mm)； β 为附加摩擦阻力系数，1.5。代入式(2)得 $F_m = 1.46 \times 10^6$ N。

2) 坡度阻力计算。

$$F_p = (G_1 + G_2) \sin\alpha \quad (3)$$

式中： α 为坡度角，当坡度 i 很小时($i=0.003$)，在计算中可用轨道坡度 i 代替 $\sin\alpha$ ：

$$F_p = (G_1 + G_2) i \quad (4)$$

得 $F_p = 1.38 \times 10^5$ N。

3) 风阻力 F_w 计算。

$$F_w = CP_I A \quad (5)$$

式中： C 为风力系数(1.3)； P_I 为正常工作状态下的计算风压(7级风，取250N/m²)； A 为垂直于风向的实体引风面积(360m²)。代入得 $F_w = 1.15 \times 10^5$ N。

台车在轨道上稳定运行的静阻力 $F_j = 17.13 \times 10^5 \text{ N}$ 。

4) 电动机的静功率。

$$P_j = \frac{F_j v_0}{1000 \eta m} \quad (6)$$

式中: F_j 为台车运行静阻力 (N); v_0 为运行速度 (1.34 m/min); η 为机构传动效率; m 为电动机个数。代入得 $P_j = 2.52 \text{ kW}$ 。

5) 电动机的实际所需功率。

$$P_s = K_d P_j \quad (7)$$

式中: K_d 为考虑到电动机启动时惯性影响的功率增大系数。代入得 $P_s = 2.77 \text{ kW}$ 。

故电动台车 YDTC4600 选用 16 台功率为 3 kW 的电机, 功率有足够的富余量。

2.2 液压顶升系统计算分析

电动台车 YDTC4600 上设置的液压顶升系统, 起到沉箱上、落台车的转换作用。该系统由 48 台千斤顶和 4 台液压站组成 (图 3)。千斤顶采用 1200 kN 双作用千斤顶 D12010, 千斤顶油缸截面积 0.024 m^2 。液压站为 ER245130W-10 型, 最高压力为 55 MPa , 工作压力为 45 MPa , 电机功率为 5.5 kW-4P , 采用卧式安装, 油泵为外置式吸油, 油泵整体尺寸控制在长 3000 mm , 宽 600 mm , 高 650 mm 以内。千斤顶换向控制采用电磁球阀, 保压控制用单向节流阀, 负载下降采用 A、B 两个油口相通平衡下降 (负载下降时电机停止), 整个顶升过程 4 台液压站共同完成升降动作, 即 1 台液压站带动 12 个千斤顶运动, 上升、下降要求同步。 46000 kN 大型沉箱被 48 台千斤顶 D12010 同步顶升、同时受力。

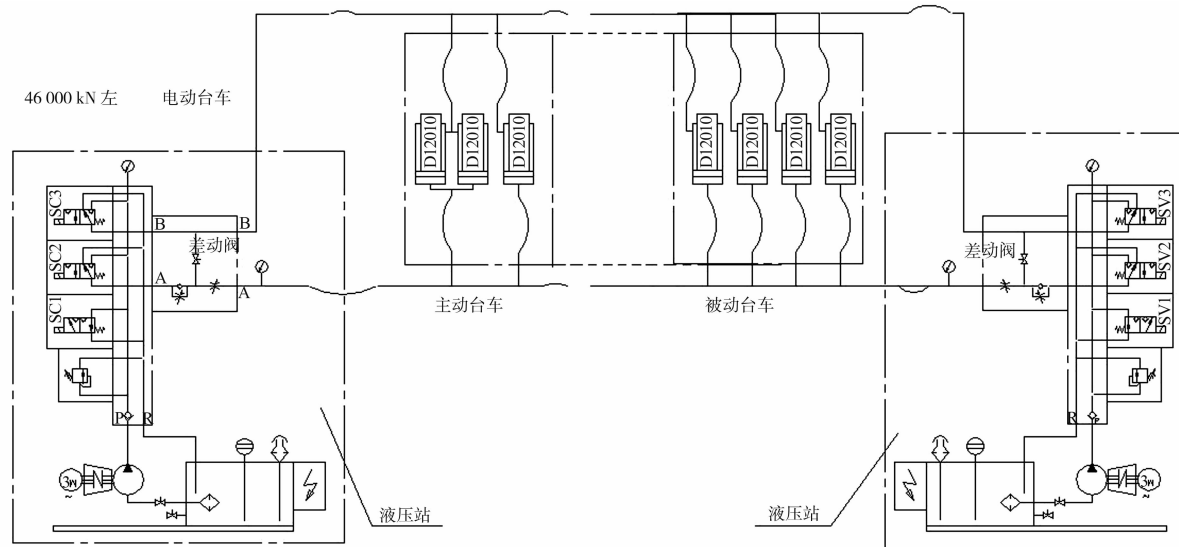


图 3 液压顶升系统原理 (左列台车)

$$\text{单个顶升点受力: } F_d = \frac{G_1}{n} = 9.39 \times 10^5 \text{ N.}$$

千斤顶油缸截面积为 0.024 m^2 , 顶升时油缸的压力为 $P_y = 39 \text{ MPa}$ 。

千斤顶 D12010 最大起顶能力 1200 kN , 液压站工作压力为 45 MPa , 故千斤顶及液压站提供的油压满足安全受力要求。

3 工程应用及效果

中交第四航务工程局有限公司从 2009 年开始

设计液压顶升电动台车, 先后在福建、海南多个预制场的沉箱出运中成功应用, 如电动台车 YDTC3600, 在福建湄洲湾港东吴作业区 1#、2#、4#~6#泊位工程出运 93 件质量 $1923 \sim 3398 \text{ t}$ 沉箱, 取得了良好的效果。福建湄洲湾罗屿作业区 9#、10#泊位工程 2834 ~ 4585 t 的沉箱共 46 件, 其中, 规格 $21.4 \text{ m} \times 18.08 \text{ m} \times 25.90 \text{ m}$, 质量 4585 t 的沉箱 28 件。为了出运大质量的沉箱, 2012 年在原有电动台车 YDTC3600 经验的基础上,

设计了液压顶升电动台车 YDTC4600。目前，应用台车 YDTC4600 已经顺利完成 28 件 4 585 t 沉箱的出运。福建湄洲湾罗屿作业区处于高潮差海域，沉箱上驳时间易受潮位变化的影响，应用台车 YDTC4600 驮运 4 585 t 沉箱，载重时行驶速度为 1.34 m/min，空载时行驶速度为 2.01 m/min，能有条不紊地组织沉箱上驳，上驳时间准确、可控；该台车驮运大型沉箱与气囊或传统台车出运沉箱相比，具有机械化程度高、需用劳动力少（只需 6~8 人）、安全可靠、施工现场整洁等优点。随着技术的进步、材料强度的提高，该电动台车在类似工程的应用将得到不断的提升。

4 结语

计算分析表明电动台车 YDTC4600 水平驱动

（上接第 172 页）

应用 Ansys 软件模拟出人孔井、测量塔的挠度分别为 473 mm 和 194 mm。

沉管安装作业条件最大水流流速为 0.8 m/s，极限风速仍取 13.8 m/s，计算方法同上，可得出人孔井上的水流荷载、风荷载分别为 20.958 kN 和 1.329 kN，测量塔上的水流荷载、风荷载分别为 80.478 kN 和 5.104 kN。应用 Ansys 软件模拟出人孔井、测量塔顶端的挠度分别为 725 mm 和 222 mm。

3 添加抱箍结构后的受力分析

由上述计算可知，在沉管安装极限条件下，人孔井、测量塔顶端挠度分别达到近 725 mm 和 222 mm，已相当危险，为保证测量塔、人孔井在浮运过程中的安全以及测量精度，添加刚性的抱箍结构使人孔井与测量塔连接到一块。连接后的人孔井与测量塔可看作一个新的桁架结构，计算出人孔井与测量塔对应上述 4 种工况下的顶端挠度均分别为：171、171、193、221 mm。

增加抱箍结构后，人孔井、测量塔顶端在浮运、安装过程中最大变形分别为 167 mm 和 193 mm。

系统、液压顶升系统满足驮运 4 600 t 大型沉箱的要求，设计安全、合理。

电动台车 YDTC4600 顺利驮运 28 件 4 585 t 大型沉箱的工程实例表明：该台车机械化程度高、工效高、作业时间可控、安全可靠。该创新设计，可以为类似台车的研发提供有益的参考。

参考文献：

- [1] 张质文, 虞和谦, 王金诺, 等. 起重机设计手册[M]. 北京: 中国铁道出版社, 1998.
- [2] 雷天觉, 杨尔庄, 李寿刚, 等. 新编液压工程手册[M]. 北京: 北京理工大学出版社, 1998.
- [3] 虞莲莲, 曾正明. 实用钢铁材料手册[M]. 北京: 机械工业出版社, 2004.

（本文编辑 武亚庆）

4 结语

1) 模拟结果具有一定的可靠性，现场实测数据与理论计算相比，误差很小。

2) 抱箍结构行之有效。在连接抱箍结构后，相比较没加抱箍之前，人孔井、测量塔顶端变形明显变小。

3) 本文在计算中忽略了沉管的浮运航速变化、风场变化、沉管晃动等因素对于其受力变形的影响，其更细致更精确的受力分析，仍有待于作更进一步的探讨。

参考文献：

- [1] 沐建飞, 潘斌. 海洋平台风载荷的分析与计算[J]. 中国海洋平台, 1999, 14(1): 7-11.
- [2] GD 008—1997 海上拖航指南 [S].
- [3] 李润培, 王志农. 海洋平台强度分析[M]. 上海: 上海交通大学出版社, 1992.
- [4] American Petroleum Institute. Recommended Practice for Planning, Designing and Constructing Fixed Offshore Platforms-Working Stress Design [R]. USA: American Petroleum Institute, 2000.
- [5] JTJ 215—1998 港口工程荷载规范 [S].

（本文编辑 武亚庆）